

Figure 30 : ^1H NMR spectrum of peak 5 in CD_3OD (500 MHz)

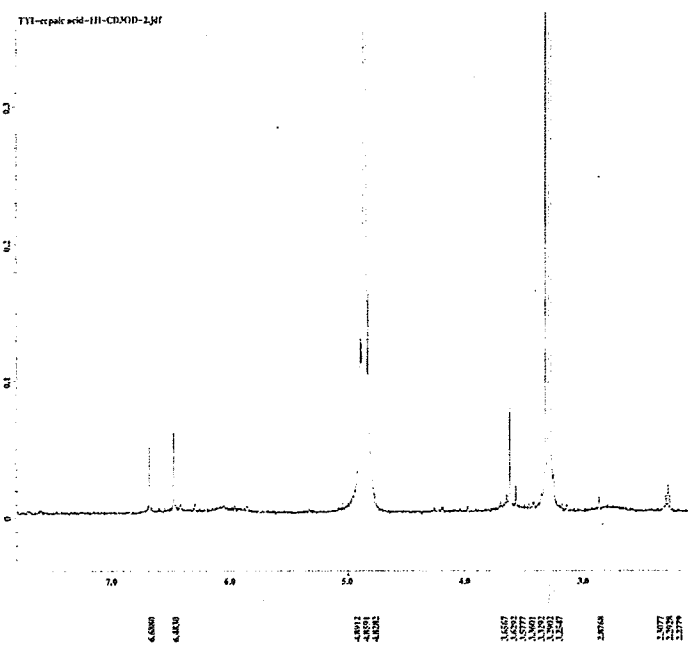


Figure 31 : ^1H NMR spectrum of cepaic acid in CD_3OD (500 MHz)

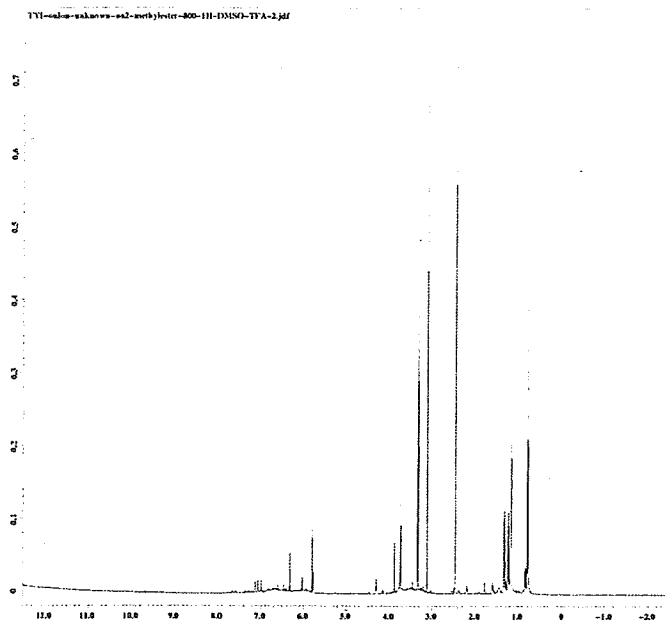


Figure 32-a : ¹H NMR spectrum of peak 5 in DMSO-TFA (9:1)(800 MHz)

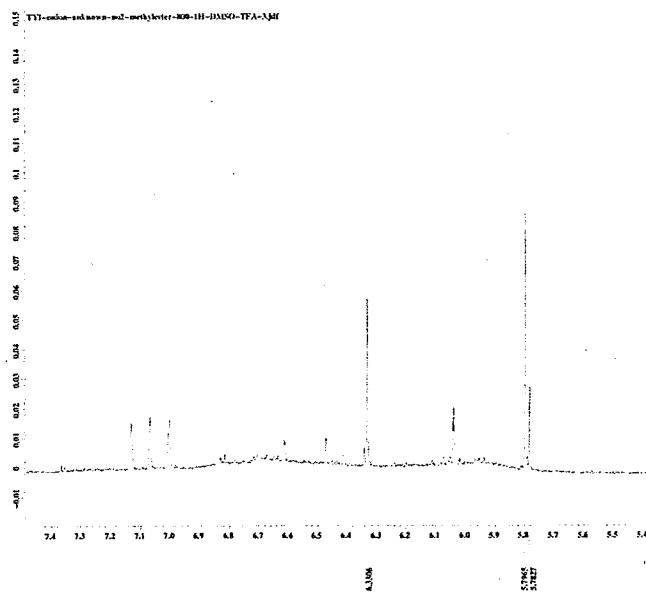


Figure 32-b : ¹H NMR spectrum of peak 5 in DMSO-TFA (9:1)(800 MHz) (拡大図)

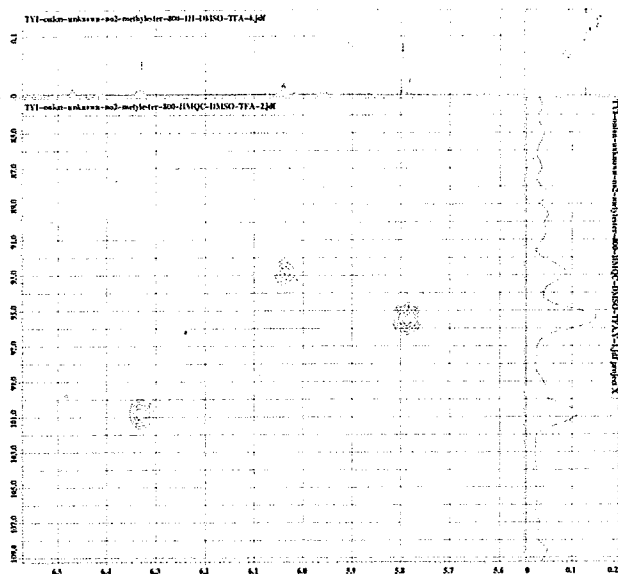


Figure 33 : ^1H - ^{13}C HMQC spectrum of peak 5 in DMSO-TFA (9:1)(800 MHz)

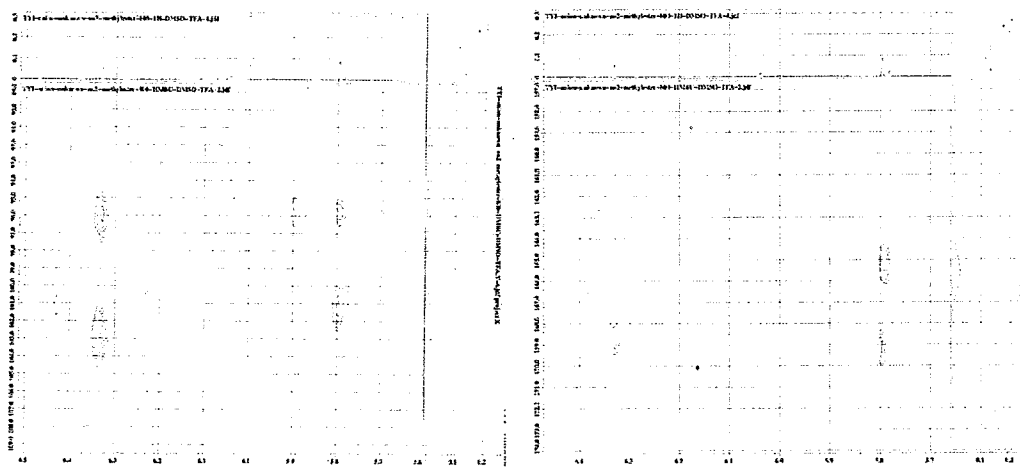


Figure 34 : ^1H - ^{13}C HMBC spectrum of peak 5 in DMSO-TFA (9:1)(800 MHz)

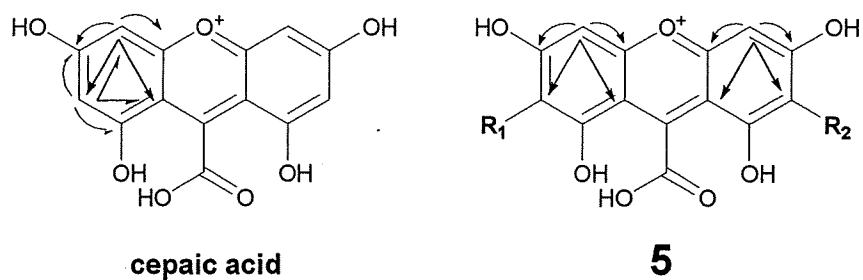


Figure 35 : cepaic acid および 5 (推定構造) 中の ^1H - ^{13}C HMBC 相関(矢印)。5 における R₁ および R₂ は置換基を意味する (位置は推定)。cepaic acid が対称構造で、2つの水素シグナルから同じ炭素への相関が観測されたのに対し、5 は同じ炭素への相関は観測されなかった。

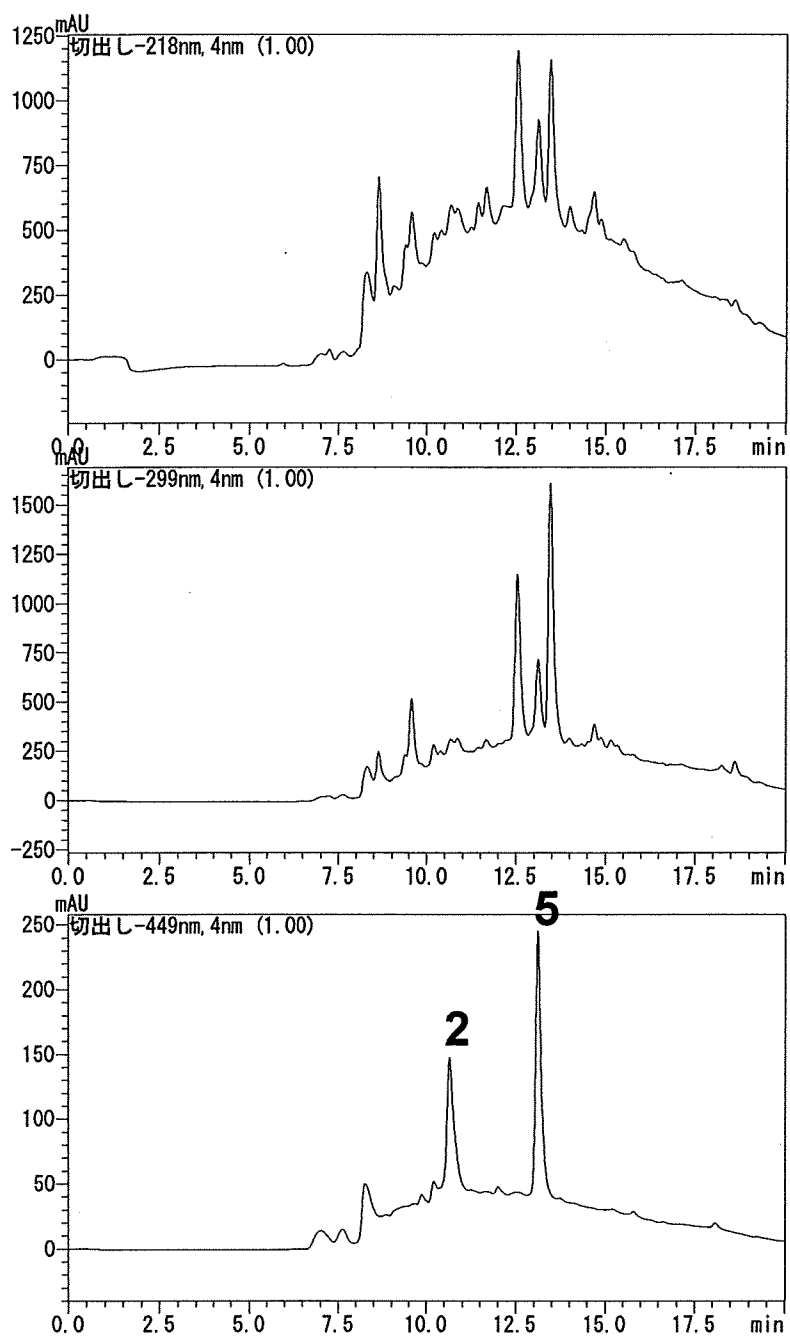


Figure 36 : Cosmosil C₁₈ MSII を用いた色素ピーク 5 の分取 (検出 : (上) 210 nm, (中) 300 nm, (下) 450 nm)

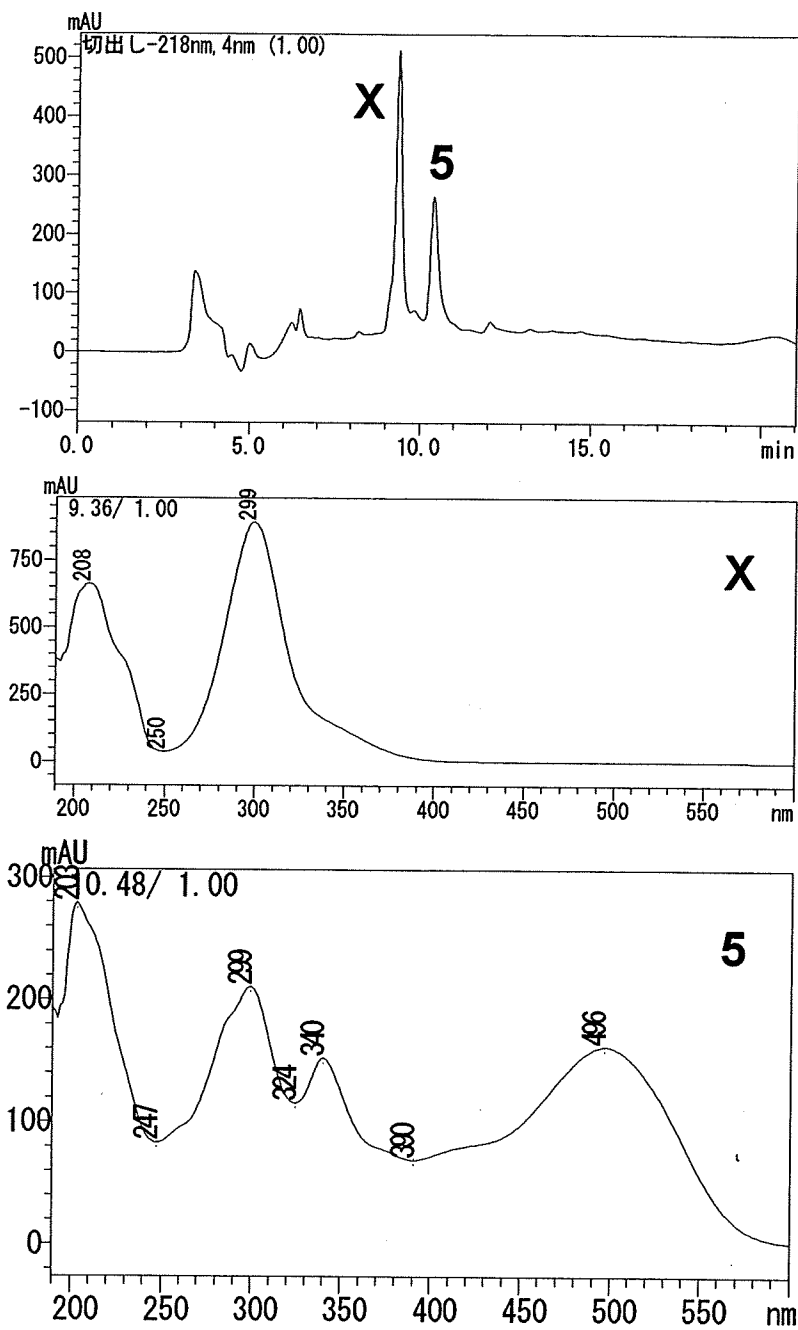


Figure 37: Cosmosil cholesterol を用いた色素ピーク 5 の精製 (上: 検出 210 nm, 中: 夾雑物ピーク X の吸収スペクトル, ピーク 5 の吸収スペクトル)

